

# 肠系膜神经鞘 1 例

张仁毕<sup>1</sup> 吕辅英<sup>2</sup> 刘 洪<sup>3</sup>

1 文山市人民医院放射科 云南文山 663000

2 文山州中医医院功能科 云南文山 663000

3 文山州中医医院放射科 云南文山 663000

【关键词】肠系膜神经鞘瘤体层摄影术；病理学

【中图分类号】R730

【文献标识码】A

【文章编号】1005-4596(2022)09-063-02

## 1 病例介绍

患者男，45岁，因反复腹痛6月，再发加重1天。查体未见明显异常。CT平扫及增强示：胃及第5、6组小肠充盈好，左中腹部见一大小约7cm×7cm×5.6cm椭圆形囊实性占位病变，平扫实性部分CT值40HU（图1），边缘欠清，增强扫描动脉期CT值48HU（图2），门脉期CT值74HU（图3），静脉期CT值82HU（图4），病灶实性部分渐进式明显强化，囊性部分囊壁环形强化，病灶偏软，包裹肠系膜上动脉生长致后者受压变窄（图5），周围未见确切增大淋巴结，3、4组小肠肠祥受压充盈不良，小肠冠状重建（CTE）显示较为直观；提示：左中腹部富血供囊实性占位，肠系膜上动脉分支血管供血，首先考虑间质瘤（小肠系膜来源？），腹内型韧带样型纤维瘤病、IMT及其它待排。手术：小肠系膜根部近肠系膜上动静脉起始处有一8cm×6cm×5cm大小包块，包膜完整光滑，周围被肠系膜上动静脉部分分支包裹，活动度差，包块质硬，无明显感染，无活动性出血，无缺血坏死表现，行包块完全切除。术后病理：（肠系膜包块）神经鞘瘤，肿瘤细胞梭形，束状排列，细胞无明显异型；免疫组化检测显示：S-100蛋白阳性（图6），DOG-1、CD117、CD34、SMA、Desmin呈阴性；细胞增殖指数（Ki-67染色）为1%。



图 1：平扫：实性部分 CT 值 40HU

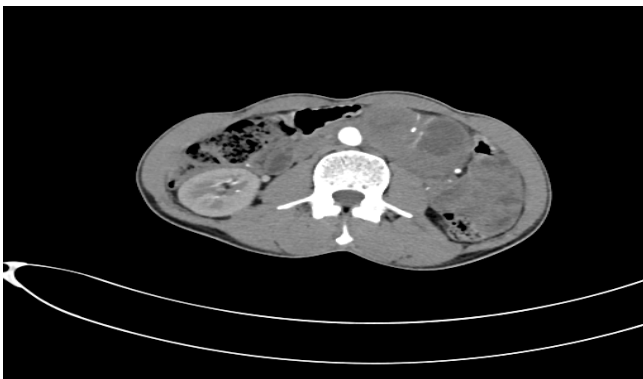


图 2：动脉期 CT 值 48HU

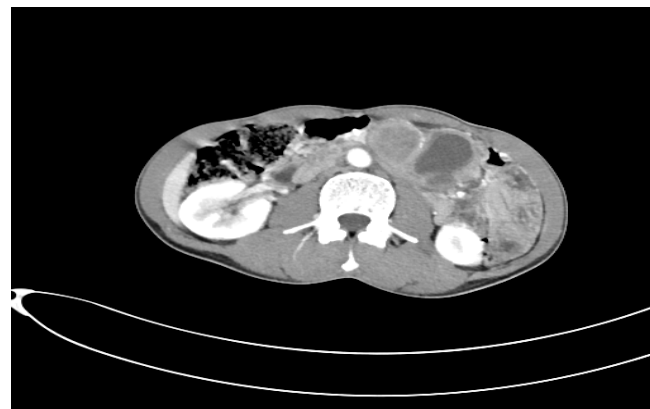


图 3：门脉期 CT 值 74HU



图 4：静脉期 CT 值 82HU

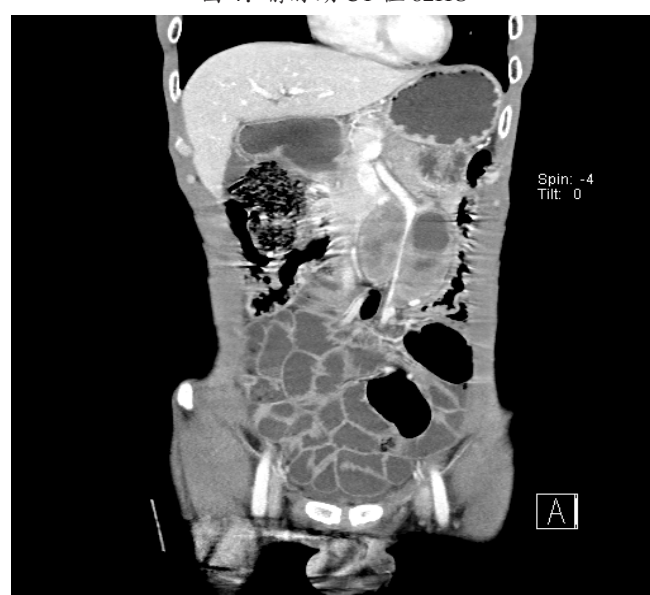


图 5：冠状位肿瘤包裹肠系膜上动脉生长致后者受压变窄

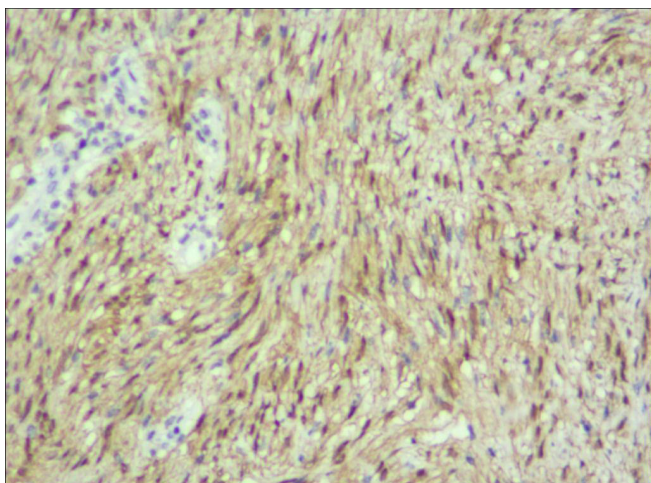


图 6: S-100 蛋白阳性

## 2 讨论

神经鞘瘤 (schwannoma) 起源于神经鞘膜 Schwann 细胞, 是外周神经系统的常见肿瘤之一, 多发生于神经节和神经干周围, 以头颈部、胸腔、躯干、四肢居多, 消化系统神经鞘瘤相对少见, 仅占全身神经鞘瘤的 0.2%, 消化系统中 90% 为胃神经鞘瘤, 肠系膜神经鞘瘤十分罕见<sup>[1]</sup>。患者多见于 20~50 岁, 肿瘤生长缓慢, 绝大多数为良性, 多为类圆形软组织肿块, 有包膜, 内部可发生囊变、坏死及钙化等, 90% 为单发。肠系膜神经鞘瘤可见于腹腔内任何部位, 患者多无临床症状, 体检发现, 肿瘤较大者可对邻近组织、器官压迫, 引起相应症状 (腹胀、肠梗阻等)<sup>[2]</sup>。在组织学上, 神经鞘瘤由 Antoni A

区和 Antoni B 区组成, A 区瘤细胞平行排列, 富含纤维, CT 平扫时密度较高, 增强后多表现为渐进性强化; 而 B 区细胞疏松, 易囊变, CT 平扫时多为水样密度, 增强后强化不明显。在影像学中, CT 可以清楚地显示肿块的位置及特征, 增强扫描后动脉期肿块呈轻度强化, 门脉期及延迟期呈渐进性强化<sup>[3]</sup>。本病对放射及化学治疗均不敏感, 手术切除是主要治疗方法<sup>[4]</sup>。

本病应以下疾病鉴别: (1)胃肠道间质瘤, 密度多不均匀, 易发生囊变、坏死, 增强后实性部分呈明显强化, 囊性或坏死部分不强化。(2)平滑肌瘤, 平扫接近肌肉密度, 质地均匀, 增强后呈均匀强化。(3)腹内型韧带样纤维瘤病, 平扫多呈等或稍低密度, 病变含黏液基质较多时, 呈低密度, 含胶原纤维较多时呈等密度; 出血、坏死及钙化少见, 增强呈轻~中度不均匀渐进性强化。肠系膜神经鞘瘤是起源于肠系膜神经鞘膜施万细胞的罕见肿瘤, 缺乏特异临床症状以及影像学特征, 确诊依靠病理和免疫组织化学检查, 但影像学检查对术前定位、定性、制定手术方案及术后随访有重要的指导作用。

## 参考文献

- [1] 孟晓明, 樊利伟, 宋鑫, 李询, 付晓霞, 古彩喆. 肠系膜神经鞘瘤 1 例并文献复习 [J]. 胃肠病学, 2015, (10):639-640.
- [2] 杜恒鑫, 侯阳. 肠系膜神经鞘瘤 1 例 [J]. 中国临床医学影像杂志, 2017, (03):226-227.
- [3] 白延军, 李铁丰, 贺吉, 等. 胃神经鞘瘤 CT、MRI 表现 [J]. 临床放射学杂志, 2018, 37(5):817-821.
- [4] 唐益勇, 施燕芸, 李晓琴. 肠系膜神经鞘瘤 1 例 [J]. 中国医学影像技术, 2020, 36(06):892.

(上接第 61 页)

术后 10d, 患者 24h 尿量为 2780ml, 血钠: 150mmol/L。术后一月, 术后三月复查电解质均在正常值范围内。

### 3.2 心理护理

住院期间患者垂体瘤术后并发尿崩症及水电解质紊乱, 不仅影响患者术后恢复, 还加重患者心理负担, 易造成夜间多尿而失眠、疲劳以及精神焦虑等情绪。因此, 对患者进行家庭支持疗法的实施, 以保证患者的情绪稳定。建立良好的护患关系是实施家庭支持疗法的基础和保障。首先, 通过健康教育让患者及其家属熟悉病房环境, 消除紧张情绪, 使患者及家属对护理人员产生信任及依赖感, 建立良好的护患关系, 为实施家庭性支持疗法打下坚实的基础。其次, 具备良好的沟通技巧, 让患者及家属接受指导, 建立信心, 为实施家庭支持性疗法提供保障。根据“倾听、支持、保证”的心理支持三原则, 作好心理护理。

### 3.3 安全护理

患者术后左眼颞上象限视野缺损较前改善, 视力 0.5, 对患者仍存在一定的安全风险。患者左眼颞上象限视野缺损, 平时放置需要随时取用的物品及食物时, 避开视功能盲区, 使患者对眼前事物一目了然, 可随时取用。协助患者下床活动时,

以纱布覆盖患侧眼部的同时带好眼罩, 指导其只以右单眼视物。户外活动时, 避开中午阳光强烈的时候, 出门时患眼覆盖纱布后佩戴墨镜, 避免阳光直射眼部造成损伤。本例患者未发生因视物不清而出现不良事件。患者于术后留置导尿管, 应行二次固定, 告知患者和指导家属在翻身或床上运动时防止导管扭曲、折叠、脱出等。

## 4 护理体会

垂体肿瘤, 神经血管丰富, 因其特殊的解剖位置, 术后易并发尿崩症及水电解质紊乱。在神经外科专科护理的基础上实施针对性的容量管理、饮食及心理护理, 加快了患者的康复。但该手术为本院开展的新项目, 缺乏相关护理经验, 因此, 加强各学科专科护理知识的学习, 为患者提供同质化的服务, 是我们今后努力的方向。

## 参考文献

- [1] 李文鹏. 经鼻蝶垂体瘤切除术患者术后一过性低血钾相关危险因素分析 [D]. 吉林大学, 2017.
- [2] 赵斌. 垂体瘤术后尿崩症相关影响因素分析及防治方法探讨 [D]. 大连医科大学, 2017.
- [3] 骆实, 潘军, 漆松涛, 等. 影响颅咽管瘤术后尿崩的因素分析 [J]. 南方医科大学学报, 2022, 29(03):544-547.

(上接第 62 页)

镜下肾部分切除术 [J]. 中华泌尿外科杂志, 2022, 31(1):28-31.

[2] 马鑫, 郑涛, 史涛坪, 等. 肾血管低温灌注下后腹腔镜肾部分切除术处理 2 例复杂左侧肾肿瘤 [J]. 微创泌尿外科杂志, 2021, 2(03):222-224.

[3] 刘新, 马鑫, 张旭. 低温技术在腹腔镜肾部分切除术

中的应用 [J]. 微创泌尿外科杂志, 2022(02).

[4] 周福德, 刘玉春, 邹万忠, 等. 以肾脏受累为主要表现的恶性高血压临床病理分析 [J]. 中华内科杂志, 2021, 40(3):165-168.

[5] 李舜伟. 急性脑水肿诊断与治疗的进展 [J]. 中国工业医学杂志, 2022(3):183-186.